

脳神経領域:320列面検出器CTの

第31回日本脳神経外科コングレス総会ランチョンセミナーLS1-3 MRI/CTの進歩

最新画像がもたらす新たな展開

大下 俊文 秋田県立脳血管研究センター放射線医学研究部

第31回日本脳神経外科コングレス総会が2011年5月6日(金)~8日(日)の3日間、パシフィコ横浜で開催された。 初日に行われた東芝メディカルシステムズ(株)共催のランチョンセミナーでは、東海大学医学部脳神経外科の松前 光紀氏を座長に、秋田県立脳血管研究センター放射線医学研究部の木下俊文氏が、320列 Area Detector CT 「Aguilion ONE」の脳神経領域における有用性と新たな可能性について講演した。

東芝メディカルシステムズの Area Detector CT (ADCT) 「Aquilion ONE は、0.5mm の検出器を320列配置した面検出器で、 体軸方向に160mm/回転の範囲をカバー することが可能である。ほとんどの人で脳 底部から頭頂部までが160mmの範囲に 入るため、寝台を移動することなく1回転 で、1秒以内に全脳をスキャンすることが できる。また、ヘリカルスキャンでは脳底 部と体軸方向に時間差を生じていたのに 対し、160 mm のボリュームスキャンでは、 脳底部と頭頂部がまったく同じ時相の画 像を描出可能であり、X、Y、Z軸方向に 等分解能なアイソトロピック画像を得るこ とができる。本講演では、Aguilion ONE の最新画像がもたらす新たな展開について、 症例画像を提示しながら述べる。

脳神経領域における ADCT の 適応と有用性

Aguilion ONEの最大のメリットは. 3D-CT-DSAを行えることである。30~ 40 mL の造影剤を5 mL/s で肘静脈から 急速注入し、連続スキャンを行って得 られた経時的な画像から、造影剤が頭 蓋内に到達する前の mask images を引 き算すると、骨や軟部組織などの不要な 情報が除かれた連続した差分画像が得 られる。そして、動脈相 (arterial phase) と静脈相 (venous phase) の血管画像 を得ることができる。

●症例1:脳動静脈奇形

(arteriovenous malformation: AVM) 図1に、右側頭頭頂のAVMの症例 を示す。

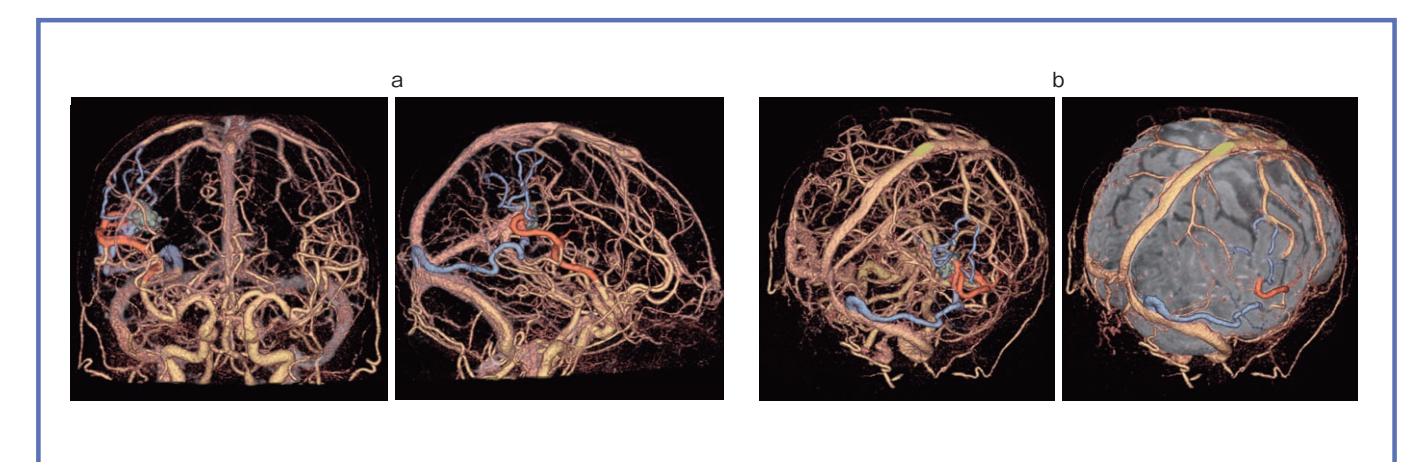
3D-CT-DSAでは、経静脈性の造影 剤注入でも経動脈性血管造影と同様に 動脈相から静脈相に至る経時的血管像 が得られる。また、CTの濃度分解能は 高いので、コントラストの高い血管像を 得ることができる。しかしながら, 3D-CT-DSAでは血管の選択的な造影 はできないので、動静脈奇形の細かな流 入動脈の正確な同定など、詳細な血管 情報を得たい場合は血管造影を併用す る必要がある。

●症例2: 囊状動脈瘤

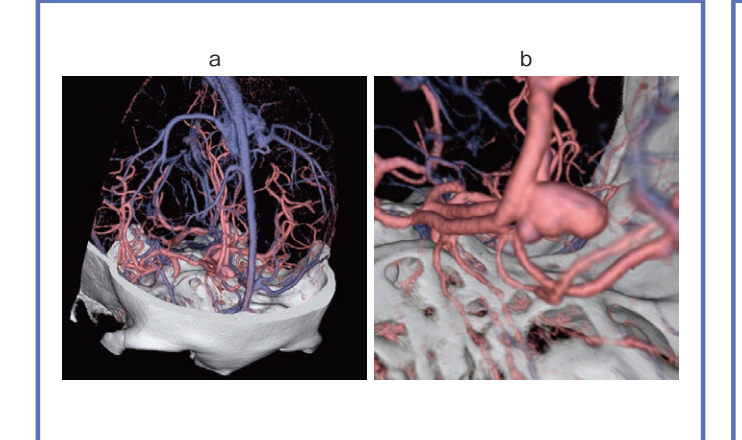
図2. 3に、 左 A2-A3に生じた不整 形の嚢状動脈瘤症例を示す。

これらの3D-CTAでは、高精細な動 脈像と静脈像とを重ね合わせている。 3D-CT-DSAで得られた連続データから 作成することは可能であるが、放射線被 ばく線量をできるだけ低減するために. 連続撮影を最小限にする必要がある。試 験的に造影剤を静注した低線量のダイナ ミックスキャンを行って. 撮影開始タイ ミングなどを決定した後、動脈相から静 脈早期相に限った連続撮影と静脈相後 期の間歇撮影によって、被ばく線量を 抑えつつ、良好な動脈像と静脈像を得 ることができる。ボリュームレンダリング での再構成法を用いて, 頭蓋骨切削を 加えたシミュレーションが可能となり. 術野に見られる血管が描出され、術前情 報として有用である1)。

また、心電図同期の3D-CTAでは造 影剤を急速静注した後、心電図のR波 をトリガーとするスキャンによりデータ



症例1: 脳動静脈奇形 (right temporoparietal AVM) 右側頭後頭葉に血管塊を認め、脳動静脈奇形のナイダスを示している。拡張した右角回動脈が流入動脈となっている。拡張したラベ静脈へ流出し、 右後斜位像(b) でラベ静脈が横静脈洞へ至っているのがわかる。parietal ascending vein も流出静脈となっている。



左前大脳動脈 A2-A3 segment に、前方へ膨隆する不整形の嚢状動脈瘤

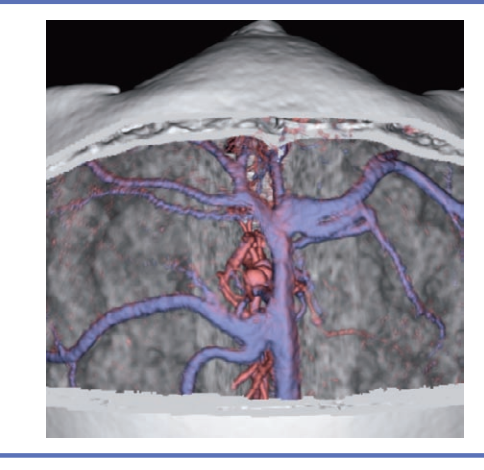


図3 症例2:前大脳動脈瘤に対するInterhemispheric approach 両側前頭開頭により、半球間裂に存在する左A2-A3 segment動脈瘤への アプローチが術前に把握される。

を収集し、心電図のR波間隔を10等分 して各時相に相当する3D-CTAを作成 することで、心拍動に伴った動脈瘤壁 の動きがシネ表示によって描出される。 心電図同期3D-CTAは、動脈瘤の壁に 脆弱部位が検出され、破裂の危険性を 予測することが期待される2)。

● 症例3.4: 傍矢状洞髄膜腫

次に、脳腫瘍について、髄膜腫の症 例を示す(図4~6)。

3D-CT-DSAによって、髄膜腫の vascular pedicleと流入動脈を同定する ことが可能となり、腫瘍に隣接する静脈 や骨構造を把握することができるため. 術前の情報として非常に有用である。

症例4(図7)は、症例3より大きな髄膜 腫で、症例3と同様に中硬膜動脈からの 流入が認められる。静脈像を見ると、上 矢状洞に腫瘍が浸潤している状態を把握 できる。このように、流入動脈の同定や 腫瘍と静脈洞の位置関係について. 3D-CT-DSA でおおよその情報が得られる。

CT灌流画像による 急性期脳梗塞の診断

320列 ADCT では、静脈相の後に間歇

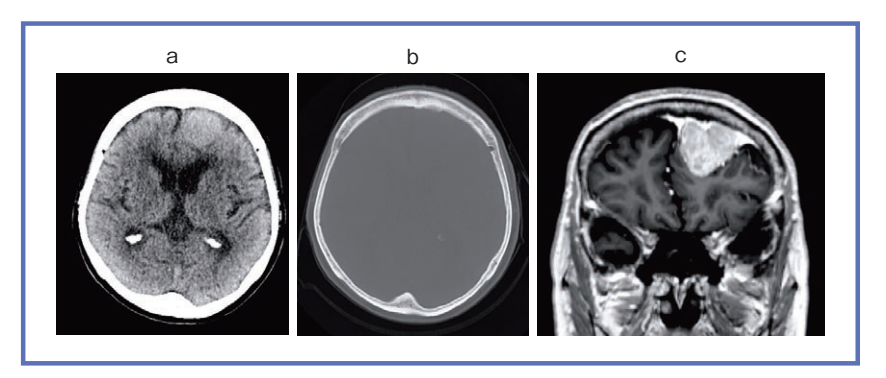


図4 症例3: 傍矢状洞髄膜腫

a: 単純CT, b: 単純CT(骨条件), c: MRI(造影T1強調像) 左前頭葉の円蓋部に、単純CTにてやや高吸収を呈する髄膜腫を認め、 L矢状洞、大脳鎌と接 している。腫瘍と隣接する頭蓋骨にはわずかな hyperostosis の変化が見られる。造影 T1 強調冠 状断像では、均一な造影増強効果を示す脳実質外腫瘍が認められる。

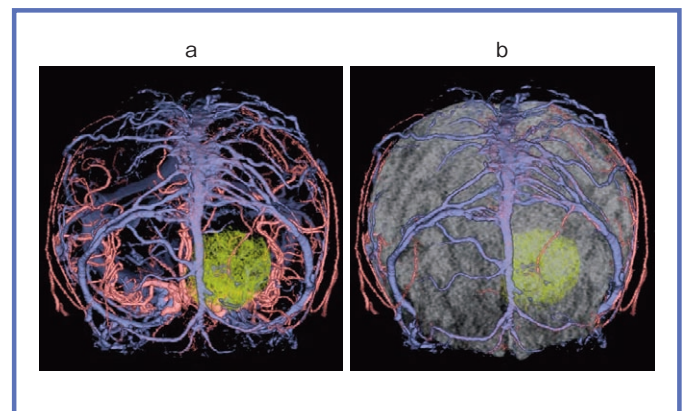


図5 症例3: 傍矢状洞髄膜腫

動脈像と静脈像、腫瘍濃染の重ね合わせ像(a)。拡張した左中硬膜動脈か ら vascular pedicle を形成して腫瘍へ流入している。腫瘍と上矢状洞は接 している。脳表画像(b)では、皮質静脈や静脈洞と腫瘍の位置関係が明瞭 である。

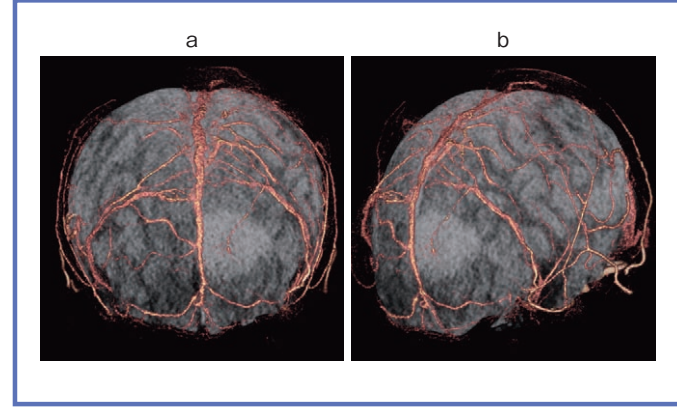


図6 症例3: 傍矢状洞髄膜腫

3D-CT-DSAにて、拡張した左中硬膜動脈が流入動脈となっていることが わかる。

(0913-8919/11/¥300/論文/JCOPY) INNERVISION (26 · 8) 2011

Seminar Report

スキャンを加えることにより、CT-DSAと 同時に、CT灌流画像 (perfusion CT) も得ることができる。造影剤40mLを 5mL/sで肘静脈より注入して生理食塩 水で後押しし、動脈相では管電圧は保っ たまま管電流を上げ、動脈相から静脈 相の血管像を1秒間隔で撮影する(図8)。 本体付属の解析ソフトウエア「AD-CT Neuro-Package/4D Perfusion」を用い て. 動脈入力関数の関心領域は健側の 中大脳動脈・島部に、静脈出力関数の 関心領域は上矢状洞において解析する。

CT 灌流画像では、脳血液量 (cerebral blood volume: CBV), 脳血流量 (cerebral blood flow: CBF), 平均通過時 間 (mean transit time: MTT). ピー ク到達時間 (time to peak: TTP) など のパラメータが得られる。また、全脳の ボリュームデータであるため、 多断面再 構成画像 (MPR) によって、全脳の任 意の方向の断面の灌流画像を得ること ができる。さらに、同時に得られた 3D-CT-DSAの血管像と重ね合わせるこ とも可能である (4D-CT angiography)。

MRIの灌流画像と比較すると、コン トラスト分解能は MRI の方が高いが、 診断能は同等と言える。MRIでは、 PWI/DWI mismatch を早期の血栓溶 解療法適応の目安としているが、CTで は単純CTの早期虚血サイン (early CT sign) がDWI (拡散強調画像) の情報 に対応する。また、CBVの低下域はほ とんどが最終的に梗塞となるため、 非可 逆的虚血領域を示していると考えられる。

● 症例5: 梗寒発症もやもや病

図9に、梗塞発症もやもや病の発症 8日後の画像を示す。

CBVの低下は最終梗塞となる領域を 示しており、TTPの延長は広く低灌流 であることを示すが、この領域ではCBV が若干上昇していることから、軟髄膜吻 合血管 (meningeal anastomosis) を介 した側副血行路が発達しているというこ とがわかる。また、一方では自己調節能 が働くため,抵抗血管,細動脈が拡張し, それにより CBV が上昇していると言える。

つまり、CT 灌流画像により脳虚血の 診断能が向上し、治療適応の選択に寄 与する情報を提供しうると考えられる。 ただし. 課題と言える標準化と後処理時

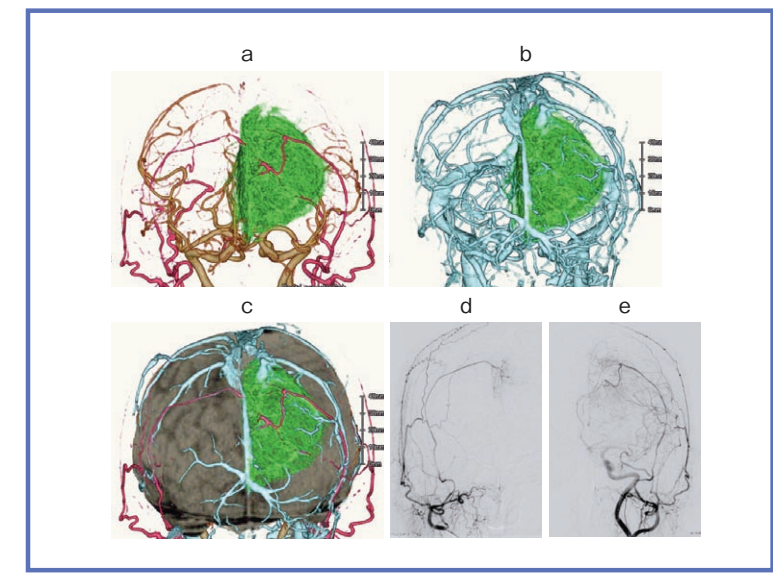


図7 症例4: 傍矢状髄膜腫

- a:動脈像と腫瘍を重ね合わせた3D-CTA
- b:静脈像と腫瘍を重ね合わせた3D-CTA
- c:動脈像. 静脈像. 脳実質. 腫瘍を重ね合わせた3D-CTA
- d:右外頸動脈造影(DSA)
- e: 左外頸動脈造影(DSA)

左前頭葉内側の髄膜腫を認め、両側中硬膜動脈が流入血管となっている。上矢状洞 は腫瘍と広く接して不整となっていて、腫瘍浸潤を示している。DSAでは、外頸動 脈造影にて両側中硬膜動脈が栄養血管となって腫瘍濃染が確認される。

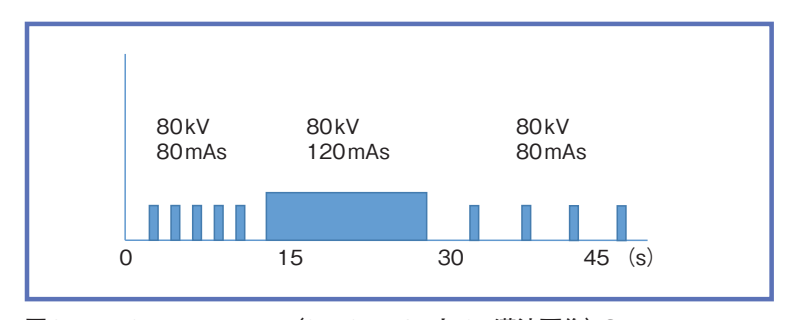


図8 4D-CT angiography (3D-CT-DSAとCT灌流画像)の スキャンプロトコール

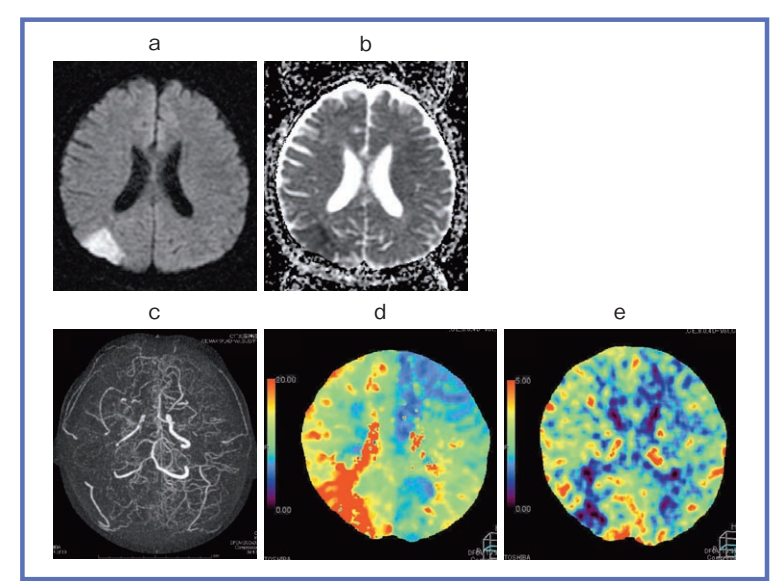
間の短縮、定量性については、今後より 一層の改善が望まれる。また、CTの宿 命的な課題である放射線被ばくの低減や 対費用効果なども含めて、 有用性につい ての総合的な判断が必要と考える。

●症例6:左内頸動脈閉塞症

主幹動脈狭窄・閉塞の虚血について、 当センターでは¹⁵Oを用いたPETで脳 循環代謝を測定し、3D-CT-DSAと比 較している。境界領域に陳旧性小梗塞 が観察される貧困灌流を伴った左内頸 動脈閉塞の症例では、150を用いた脳循 環代謝PETで見ると左半球でCBFが 低下しており、CO2負荷により健側半球 はCBFの上昇が見られるが、患側は低 下したままである。細動脈なども開ききっ

た状態のため CBV が上昇し、CMRO2 (脳酸素消費量)は相対的に保持され、 そのために酸素代謝が亢進しOEF(脳 酸素摂取率)が上昇するという。いわゆ る貧困灌流の状態を示す。

これを3D-CT-DSAで見ると、左内頸 動脈閉塞があり、同側の前大脳動脈 (ACA), 同側の後大脳動脈 (PCA) か らの軟髄膜吻合 (leptomeningeal anastomosis) を介した血行路の発達が認め られる。ACA、PCAからの血管が逆行 性に中大脳動脈 (MCA) に流入してい ることがわかる。そして、右半球の皮質 静脈は早期に描出されるが、左は遅れて 描出され、循環遅延 (circulation delay) があることが示される。





- a: MRI(拡散強調画像)
- b: MRI (ADC map)
- c:3D-CTA
- d:CT灌流画像・TTP
- e:CT灌流画像・CBV

右頭頂後頭葉に梗塞を生じていて、梗塞部は MRI 拡散強調像に て低信号を呈し、ADCの低下を生じている。3D-CTAにて両側 内頸動脈終末部で閉塞を生じ、軟髄膜吻合血管が発達しているが、 右後大脳動脈に途絶、閉塞を生じている。CT灌流画像では梗塞 部位を中心に右大脳半球でTTPが延長し、ADCの低下部位に 相当して CBV が低下し、梗塞周囲の右大脳半球では広範に CBV が上昇していて、軟髄膜吻合血管が発達していることと、 自己調節機能による循環予備能が働いていることを示している。

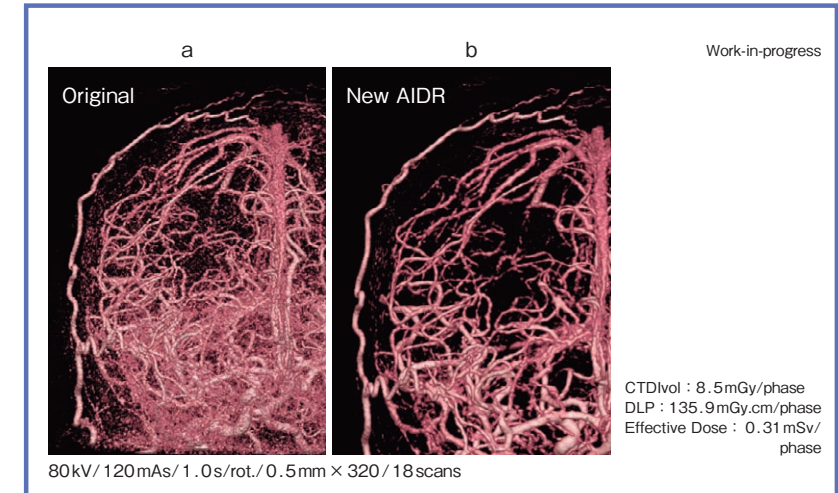


図 10 オリジナル VR 画像 (a) と新しい AIDR を適用した VR 画像 (b)

同時にCT灌流画像を撮影し、CBV、 MTT. TTPとその血管像を重ね合わせ た画像を見ると、閉塞している左半球で、 広い領域にわたってTTPとMTTの延 長、CBVの上昇が見られる。軟髄膜吻 合血管の発達した領域において、CBV の上昇とMTTの延長が観察される。

このように、3D-CT-DSAによって、 狭窄・閉塞部位の同定と、側副血行路 を把握することができ、同時に得られる CT 灌流画像によって, 低灌流状態の 評価が可能となる。320列 ADCT は、 主幹動脈狭窄・閉塞疾患の診断に有用 であると言える。

被ばく低減技術 "AIDR"

続いて、AIDR (Adaptive Iterative Dose Reduction) という被ばく低減技 術を紹介する (図10)。現在の AIDR は、 画像データ上で解剖学的なモデルを考慮 し、選択的にノイズ成分を抽出し、逐 次ノイズ処理を行う手法である(現在使 用中)。

図10 bに、開発中の新しい AIDR の 画像を提示する。これは生データ上で統 計学的モデル、スキャナモデル、さらに 解剖学的なモデルも考慮し、逐次ノイズ 処理を行うことでこれまで以上に効果的 なノイズ除去をめざしたものである。 AIDR 処理を行わないオリジナル画像

(図10 a) と比較すると、新しい AIDRで は頭蓋底周辺のノイズが大幅に低減でき ており、よりクリアな血管画像、3D-CT-DSA を低線量で得ることができる。

まとめ

全脳のダイナミックスキャンが可能と なったことで、320列 ADCT は、脳血 管病変の評価に画期的. かつ最適な方 法であると考える。

●参考文献

- 1) 木下俊文: 神経放射線画像診断の最前線 CT: Multidetector-row CT 3D-CT angiography. Clin. Neurosci., 28, 553 ~ 556, 2010.
- 2) Havakawa, M., Katada, K., Anno, H., et al. : CT angiography with electrocardiographically gated reconstruction for visualizing pulsation of intracranial aneurysms; Identification of aneurysmal protuberance presumably associated with wall thinning. AJNR, 26, 1366 ~ 1369, 2005.



木下 俊文

Kinoshita Toshibumi 1986年. 北海道大学医 学部卒業。90年、北海 道大学大学院医学博士 課程研究科修了. 東北 大学医学部附属病院医 員。92年 宮城県立瀬 峰病院放射線科技術す 員。93年、仙台市立病 院放射線科医員。96年,

秋田県立脳血管研究センター放射線医学研究部研 究員。99年,鳥取大学医学部附属病院放射線科 助手。2000年、鳥取大学医学部附属病院放射線 科講師。2001~2002年、米国口チェスター大 学に留学, visiting assistant professor。2005年, 聖路加国際病院放射線科医幹。2007年より現職。

100 INNERVISION (26 · 8) 2011